Calcul ensembliste pour l'automatique et ses applications en estimation, commande robuste et robotique

Luc Jaulin,
Guillaume Baffet, Xavier Baguenard,
Massa Dao, Nicolas Delanoue, Pau Herrero
LISA-Angers

Séminaire au LIRMM, Montpellier Mercredi 19 novembre 2003, 14h-16h.

1 Motivations

1.1 Ensemble de vraisemblance

Modèle : $y_{\rm m}({\bf p},t) = p_1 e^{-p_2 t}$.

Paramètres : p_1, p_2 .

Temps de mesure : t_1, t_2, \ldots, t_m

Barres de mesure : $[y_1^-, y_1^+], [y_2^-, y_2^+], \dots, [y_m^-, y_m^+]$

Ensemble de vraisemblance :

$$\mathbb{S} = \left\{ \mathbf{p} \in \mathbb{R}^2, \forall i \in \{1, \dots, m\}, y_{\mathsf{m}} \left(\mathbf{p}, t_i \right) \in \left[y_i^-, y_i^+ \right] \right\}.$$

Logiciel SetDemo

fait par Guillaume Baffet (étudiant en maîtrise de physique et applications, Angers)

Logiciel disponible sur

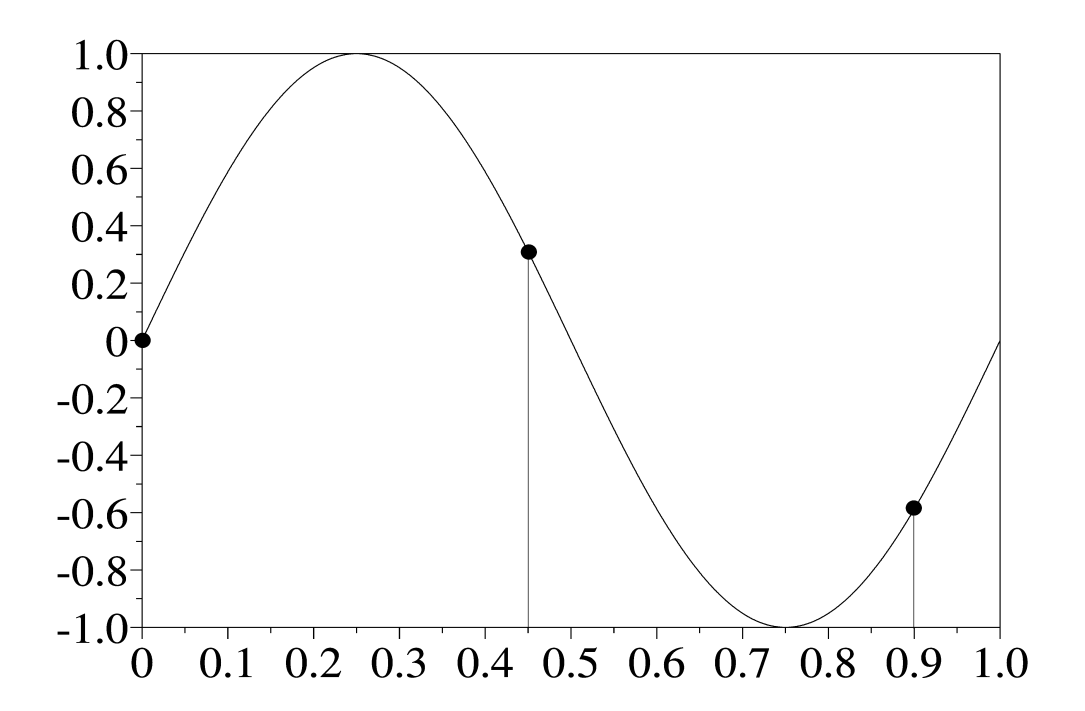
http://www.istia.univ-angers.fr/~jaulin/demo.html

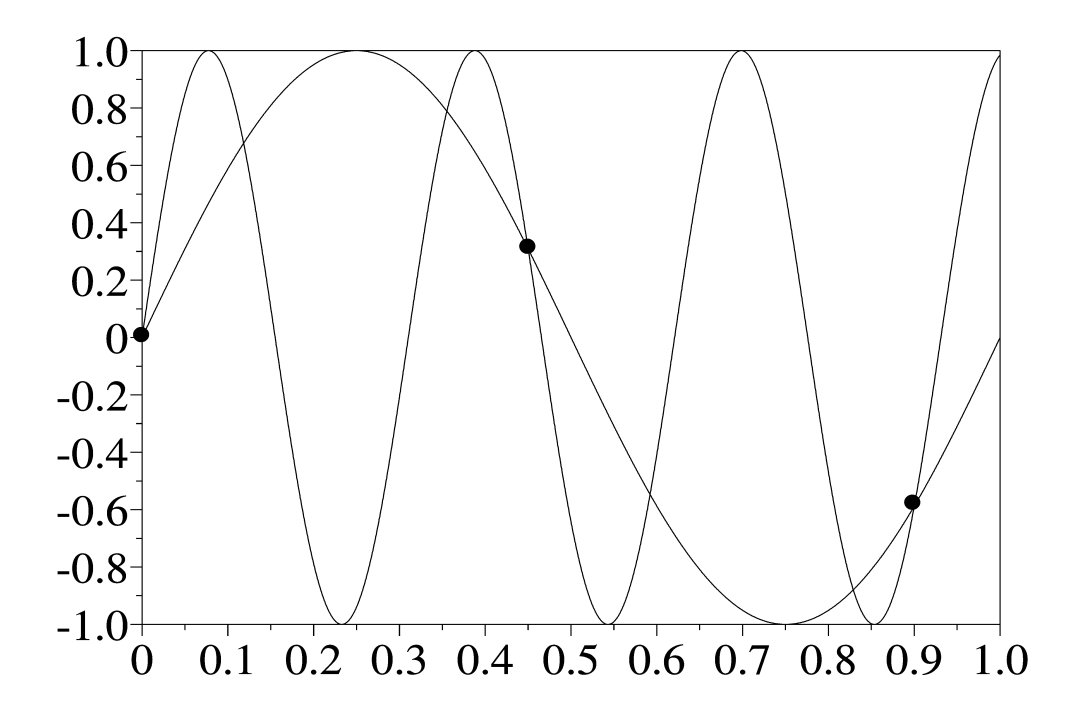
(illustration de l'ensemble de vraisemblance par Setdemo) Modèle : $y_{m}(\mathbf{p}, t) = p_{1} \sin(2\pi p_{2}t)$.

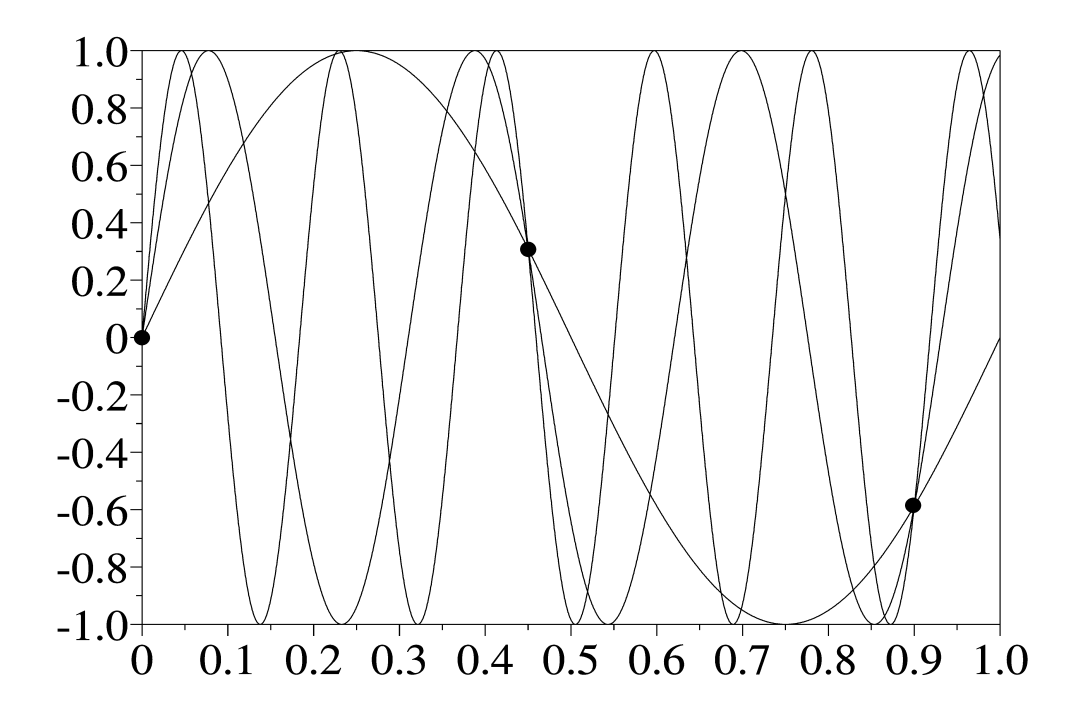
Paramètres : p_1, p_2 .

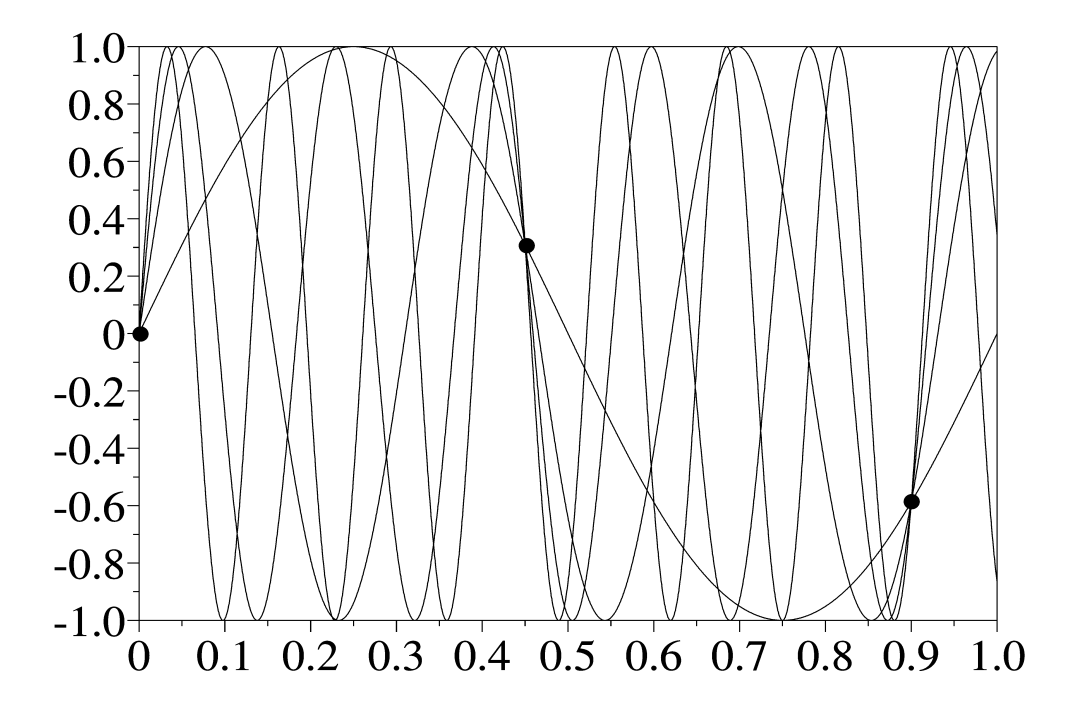
Temps de mesure : $t_1=0, t_2=T_e, t_3=2T_e, \dots$

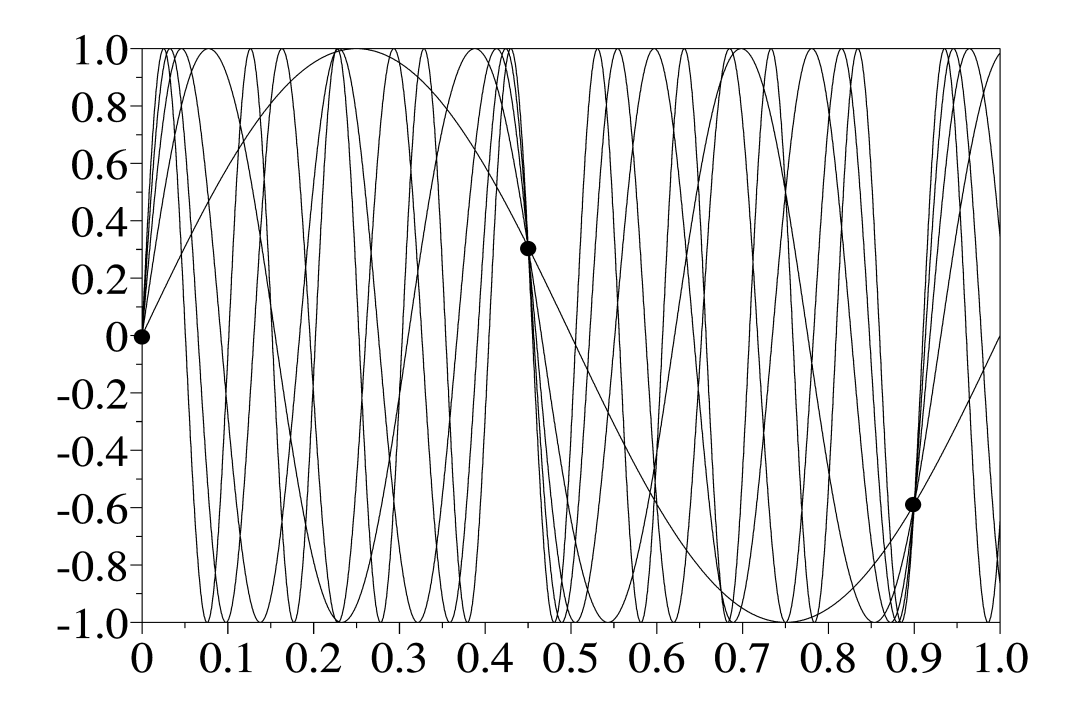
Barres de mesure : $[y_1^-, y_1^+], [y_2^-, y_2^+], [y_3^-, y_3^+], \dots$





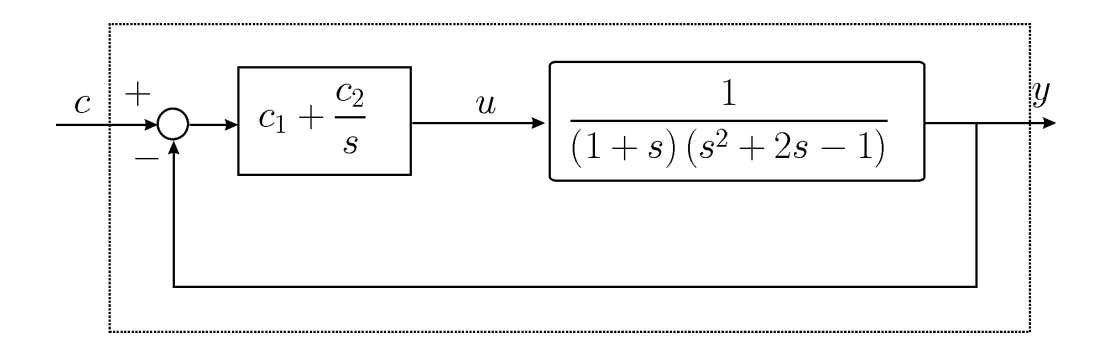






(Montrer l'ensemble de vraisemblance avec SetDemo).

1.2 Domaine de stabilité



Domaine de stabilité $\mathbb S$: ensemble des c_1,c_2 tels que le système bouclé soit stable.

(Montrer le domaine de stabilité avec Setdemo)

2 Propagation de contraintes sur les intervalles

2.1 Calcul par intervalles

Si
$$\diamond \in \{+,-,.,/,\max,\min\}$$

$$[x] \diamond [y] = [\{x \diamond y \mid x \in [x], y \in [y]\}].$$

$$[-1,3] + [2,5] = [?,?],$$

 $[-1,3].[2,5] = [?,?],$
 $[-1,3]/[2,5] = [?,?],$
 $[-1,3] \lor [2,5] = [?,?].$

Si
$$\diamond \in \{+,-,.,/,\max,\min\}$$

$$[x] \diamond [y] = [\{x \diamond y \mid x \in [x], y \in [y]\}].$$

$$[x^-, x^+] + [y^-, y^+] = [?,?],$$

 $[x^-, x^+].[y^-, y^+] = [?,?],$
 $[-1,3] \lor [2,5] = [?,?].$

$$[x^{-}, x^{+}] + [y^{-}, y^{+}] = [x^{-} + y^{-}, x^{+} + y^{+}],$$

$$[x^{-}, x^{+}] \cdot [y^{-}, y^{+}] = [x^{-}y^{-} \wedge x^{+}y^{-} \wedge x^{-}y^{+} \wedge x^{+}y^{+},$$

$$x^{-}y^{-} \vee x^{+}y^{-} \vee x^{-}y^{+} \vee x^{+}y^{+}],$$

$$[x^{-}, x^{+}] \vee [y^{-}, y^{+}] = [\vee (x^{-}, y^{-}), \vee (x^{+}, y^{+})].$$

Si $f \in \{\cos, \sin, \operatorname{sqrt}, \log, \exp, \dots\}$

$$f([x]) = [\{f(x) \mid x \in [x]\}].$$

$$\sin ([0,\pi]) = [?,?],$$

 $\operatorname{sqr}([-1,3]) = [?,?],$
 $\operatorname{abs}([-7,1]) = [?,?],$
 $\operatorname{sqrt}([-10,4]) = [?,?],$
 $\log ([-2,-1]) = [?,?].$

Si $f \in \{\cos, \sin, \operatorname{sqrt}, \log, \exp, \dots\}$

$$f([x]) = [\{f(x) \mid x \in [x]\}].$$

$$\sin\left([0,\pi]\right) = [0,1],$$
 $\operatorname{sqr}\left([-1,3]\right) = [-1,3]^2 = [0,9],$ $\operatorname{abs}\left([-7,1]\right) = [0,7],$ $\operatorname{sqrt}\left([-10,4]\right) = \sqrt{[-10,4]} = [0,2],$ $\log\left([-2,-1]\right) = \emptyset.$

2.2 Projection de contraintes

Soient 3 variables x,y,z telles que

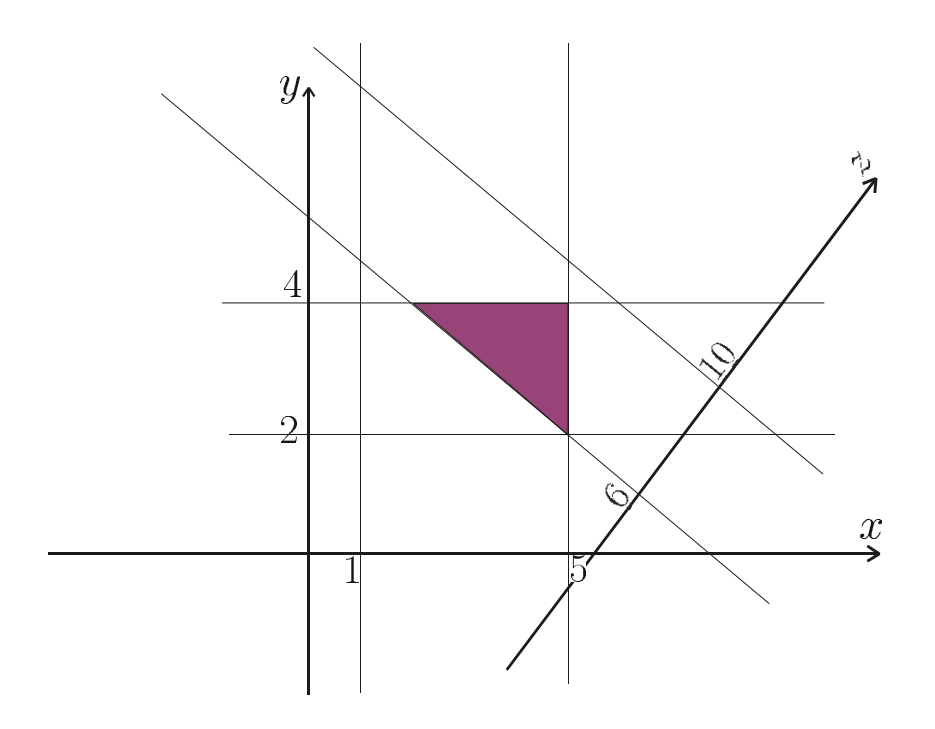
$$x \in [1, 5],$$

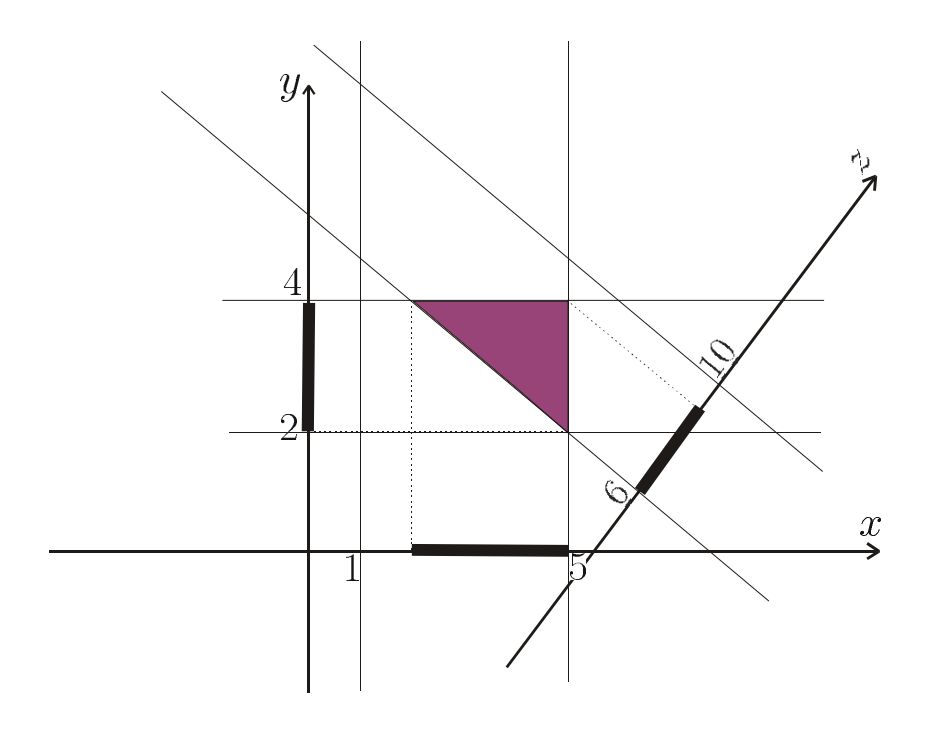
 $y \in [2, 4],$
 $z \in [6, 10],$
 $z = x + y.$

Les valeurs 1 pour x et 10 pour z sont dites inconsistantes.

Projeter une contrainte (ici, z=x+y), c'est calculer les plus petits intervalles ne contenant que des valeurs consistantes. Pour notre exemple, cela revient à projeter 3 fois (suivant x,y, puis z) le sous-ensemble de \mathbb{R}^3 donné par

$$\mathbb{S} = \{(x, y, z) \in [1, 5] \times [2, 4] \times [6, 10] \mid z = x + y\}.$$





2.3 Méthode numérique de projection

Puisque $x \in [1,5], y \in [2,4], z \in [6,10], z = x+y$, on a

$$z = x + y \Rightarrow z \in [?,?]$$

$$x = z - y \Rightarrow x \in [?,?]$$

$$y = z - x \Rightarrow y \in [?,?]$$

Puisque $x \in [1,5], y \in [2,4], z \in [6,10], z = x+y$, on a

$$z = x + y \Rightarrow z \in [6, 10] \cap ([1, 5] + [2, 4])$$

$$= [6, 10] \cap [3, 9] = [6, 9].$$

$$x = z - y \Rightarrow x \in [1, 5] \cap ([6, 10] - [2, 4])$$

$$= [1, 5] \cap [2, 8] = [2, 5].$$

$$y = z - x \Rightarrow y \in [2, 4] \cap ([6, 10] - [1, 5])$$

$$= [2, 4] \cap ([1, 9] - [1, 5]) = [2, 4].$$

2.4 Propagation de contraintes

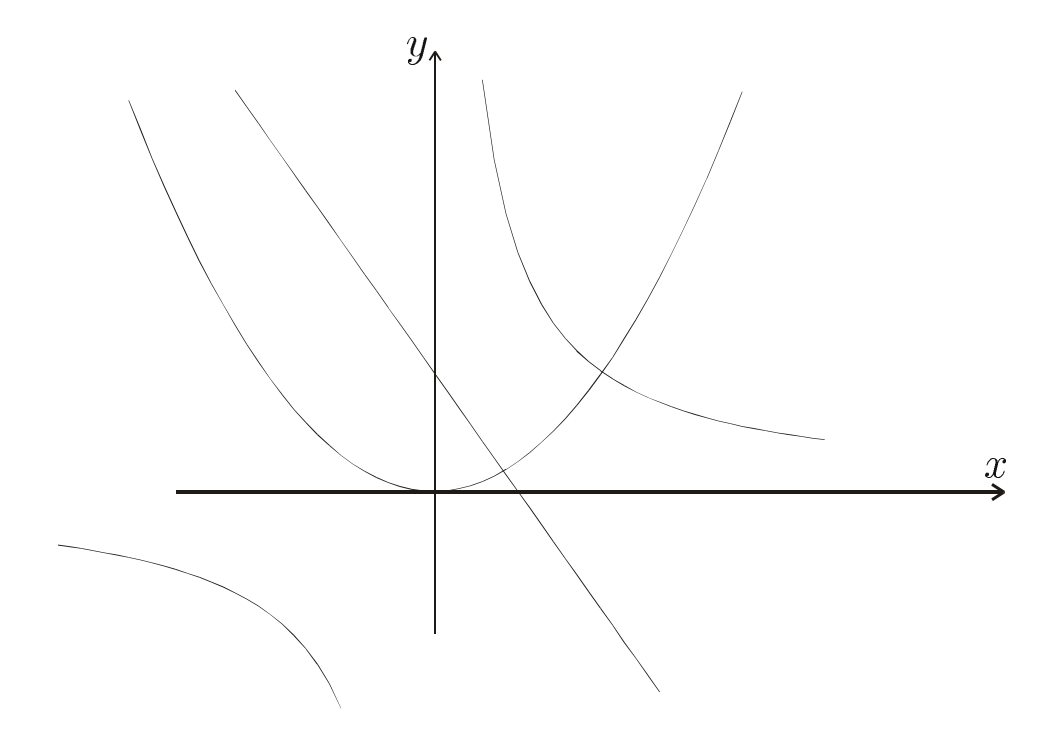
Soient les trois contraintes suivantes

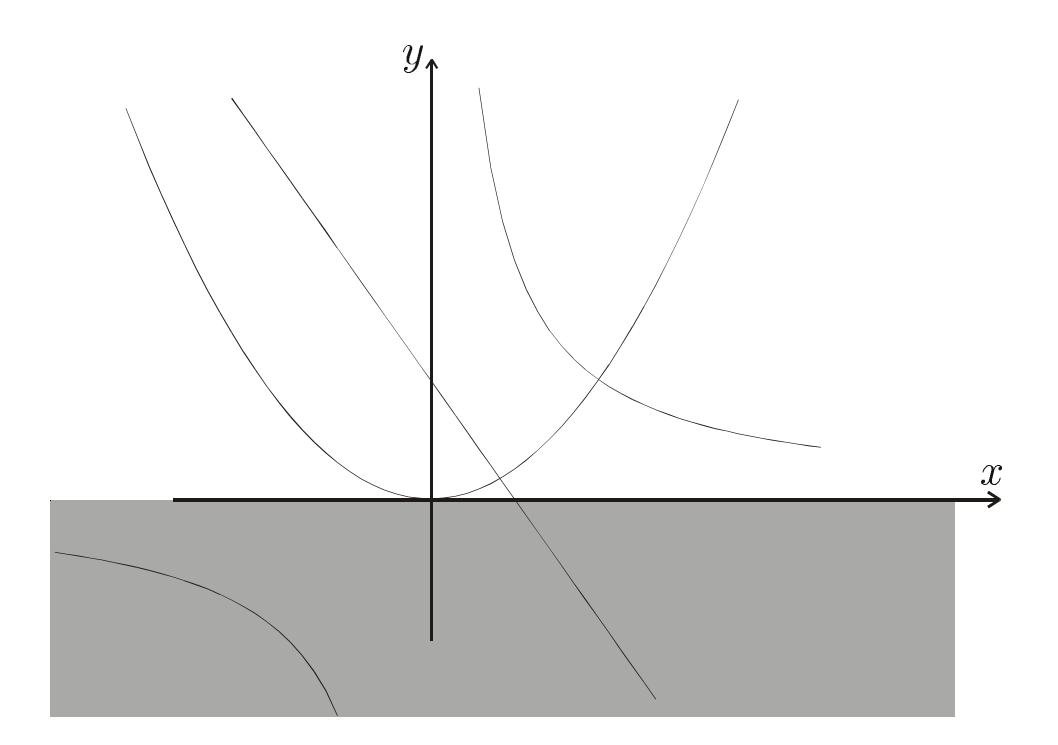
$$(C_1) : y = x^2,$$

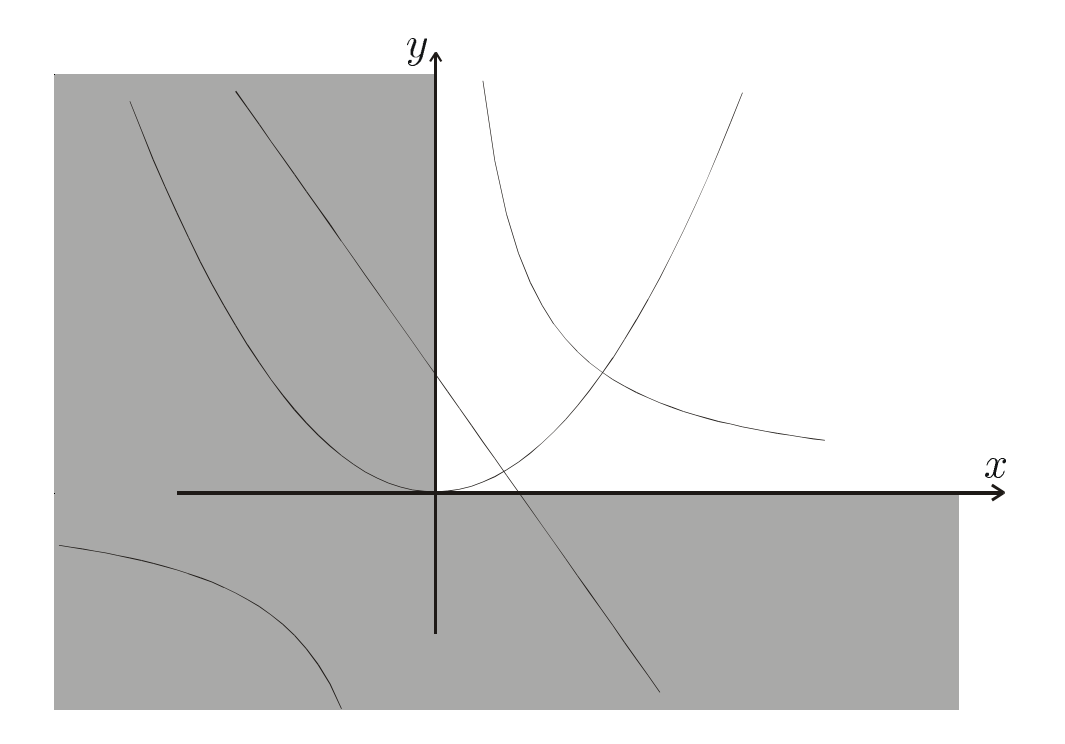
$$(C_2) : xy = 1,$$

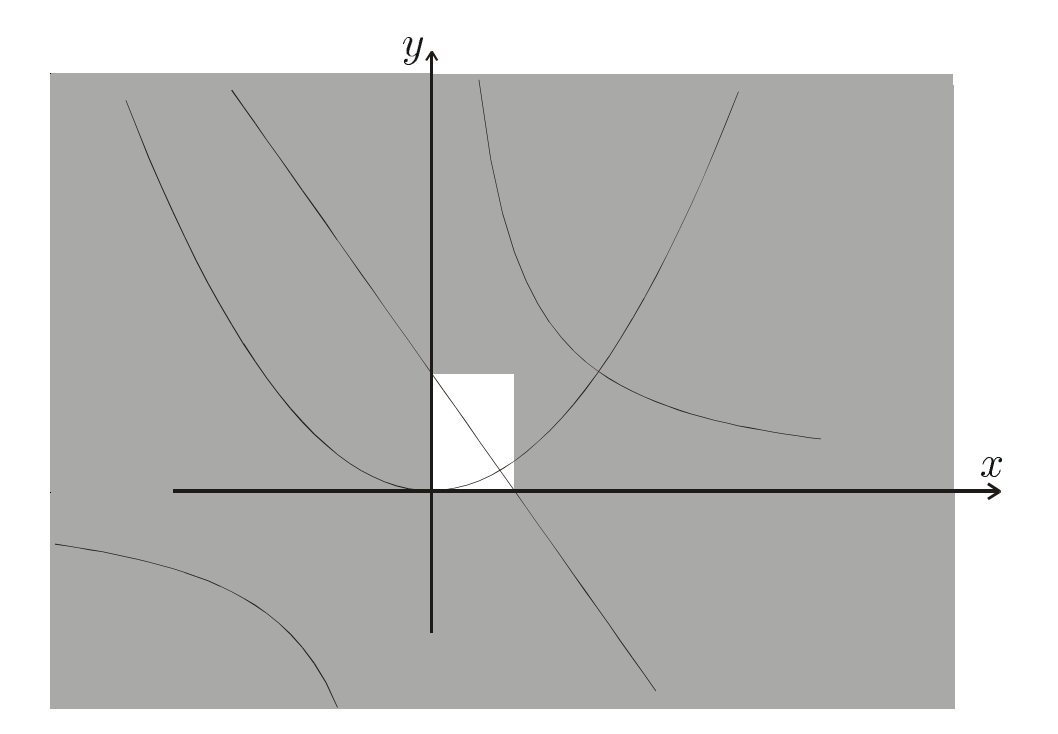
$$(C_3)$$
: $y = -2x + 1$.

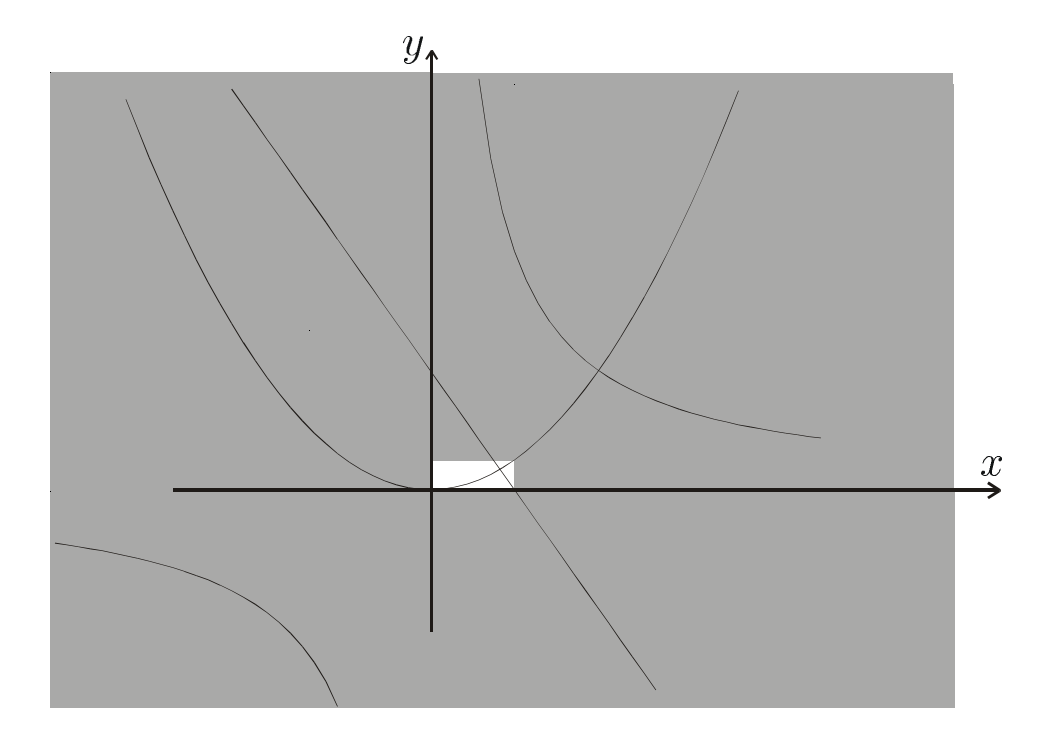
A chaque variable on affecte le domaine $]-\infty,\infty[$. Une propagation de contrainte consiste à projeter les contraintes jusqu'à l'équilibre.











$$(C_1) \Rightarrow y \in]-\infty, \infty[^2 = [0, \infty[$$
 $(C_2) \Rightarrow x \in 1/[0, \infty[= [0, \infty[$
 $(C_3) \Rightarrow y \in [0, \infty[\cap ((-2).[0, \infty[+1)$
 $= [0, \infty[\cap (] - \infty, 1]) = [0, 1]$
 $x \in [0, \infty[\cap (-[0, 1]/2 + 1/2)$
 $= [0, 1/2]$
 $(C_1) \Rightarrow y \in [0, 1] \cap [0, 1/2]^2 = [0, 1/4]$
 $(C_2) \Rightarrow x \in [0, 1/2] \cap 1/[0, 1/4] = \emptyset$
 $y \in [0, 1/4] \cap 1/\emptyset = \emptyset$

2.5 Décomposition

Pour les contraintes plus complexes, il nous faut effectuer une décomposition. Par exemple,

$$x + \sin(y) - xz \le 0,$$

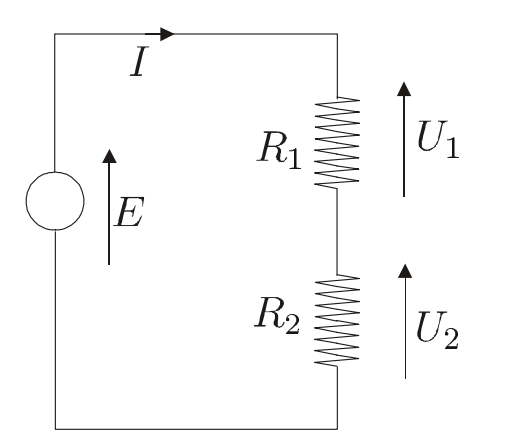
 $x \in [-1, 1], y \in [-1, 1], z \in [-1, 1]$

se décompose en

$$\begin{cases} a = \sin(y) & x \in [-1,1] \quad a \in]-\infty, \infty[\\ b = x + a & y \in [-1,1] \quad b \in]-\infty, \infty[\\ c = xz & z \in [-1,1] \quad c \in]-\infty, \infty[\\ b - c = d & d \in]-\infty, 0] \end{cases}$$

3 Applications

3.1 Problème d'estimation



Contraintes

$$P = EI; E = (R_1 + R_2)I;$$

 $U_1 = R_1I; U_2 = R_2I; E = U_1 + U_2.$

Domaines initiaux

$$R_1 \in [0, \infty[\Omega, R_2 \in [0, \infty[\Omega, E \in [23, 26]V, I \in [4, 8]A, U_1 \in [10, 11]V, U_2 \in [14, 17]V, P \in [124, 130]W,$$

Contraintes

$$P = EI; E = (R_1 + R_2)I;$$

 $U_1 = R_1I; U_2 = R_2I; E = U_1 + U_2.$

Domaines contractés

$$R_1 \in [1.84, 2.31] \, \Omega, \quad R_2 \in [2.58, 3.35] \, \Omega, \ E \in [24, 26] \, V, \quad I \in [4.769, 5.417] \, A, \ U_1 \in [10, 11] \, V, \quad U_2 \in [14, 16] \, V, \ P \in [124, 130] \, W,$$

Programme Scilab disponible sur

http://www.istia.univ-angers.fr/
~jaulin/propagR1R2.sce

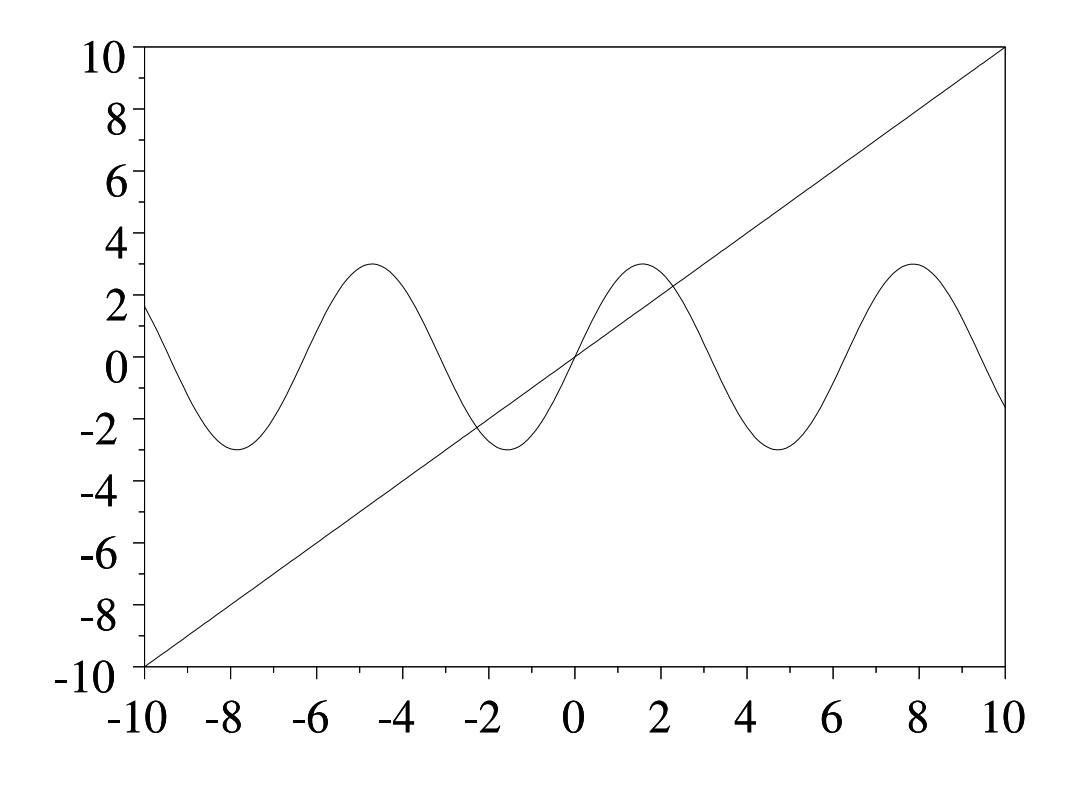
3.2 Résolution d'équations non-linéaires

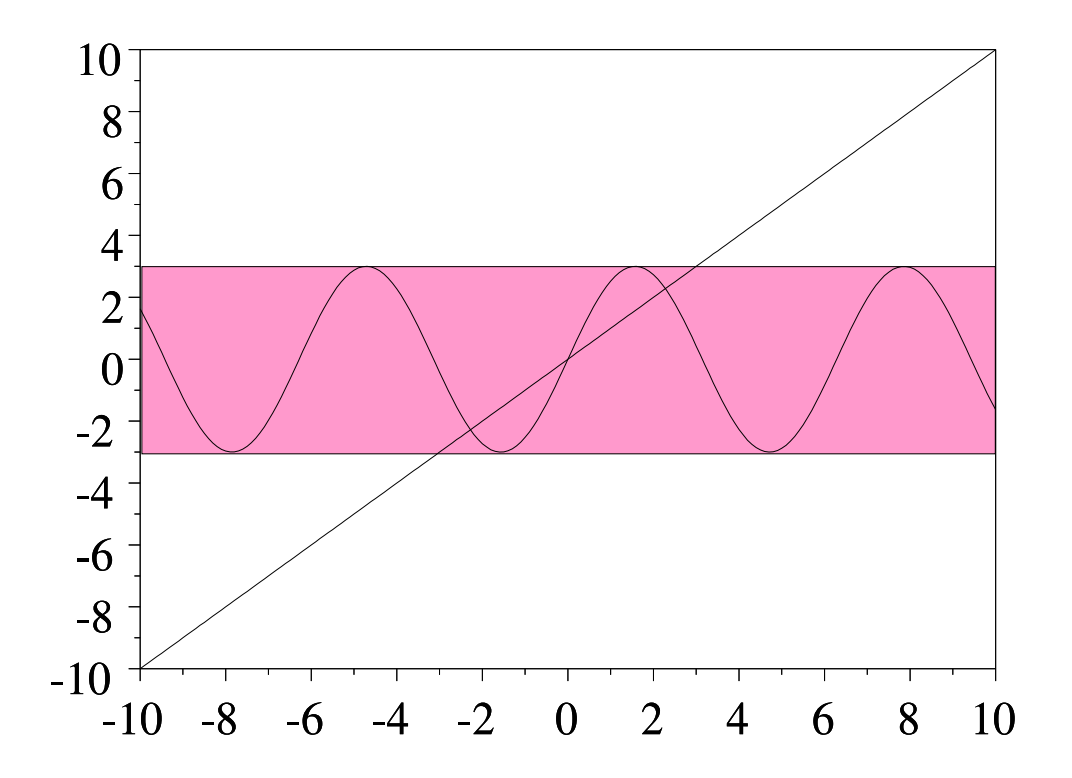
Cherchons par exemple à résoudre

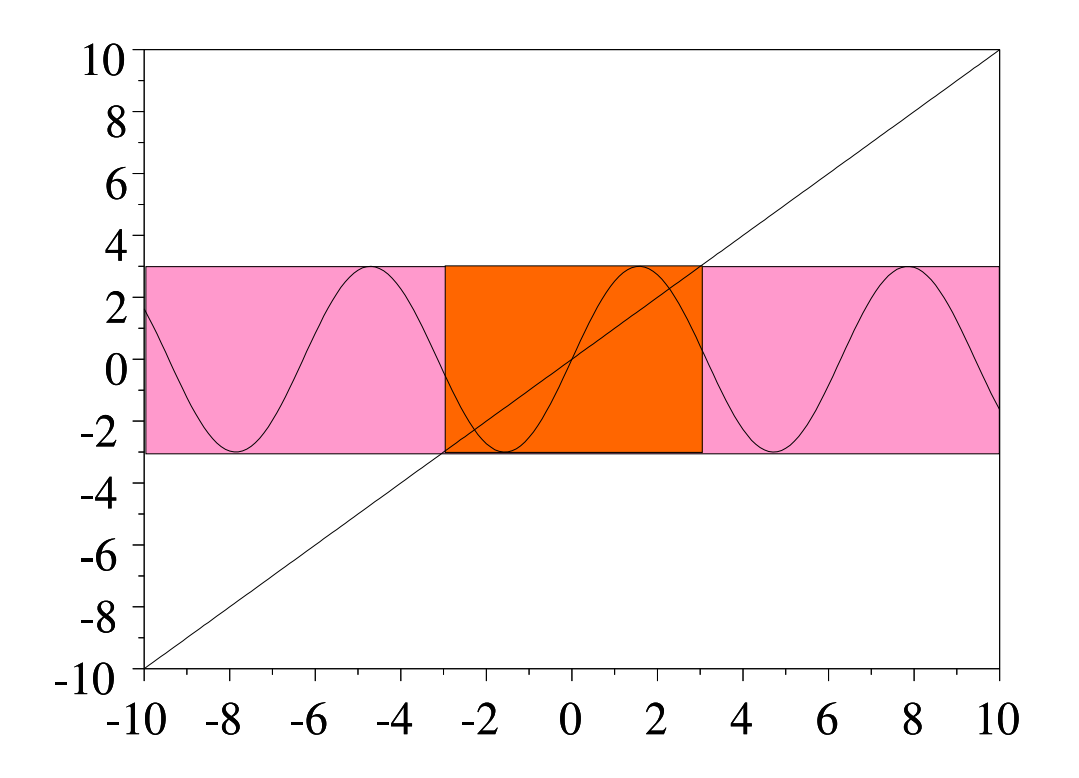
$$3\sin(x) = x, \quad x \in \mathbb{R}.$$

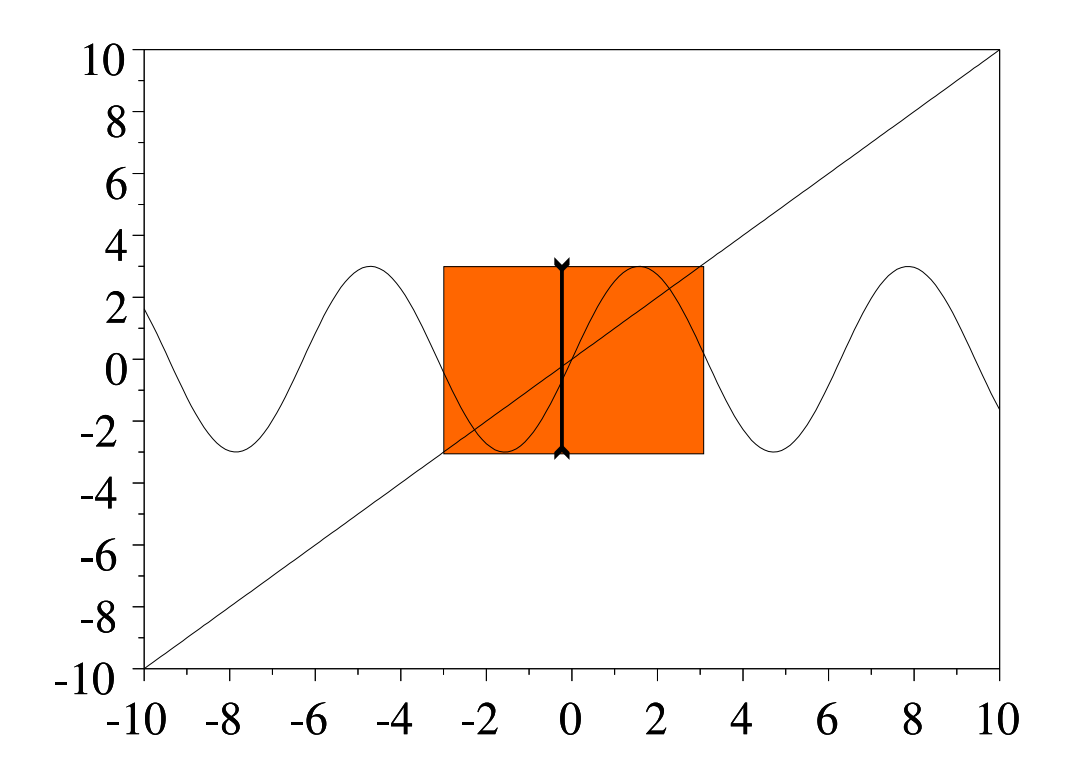
Cette équation se décompose en

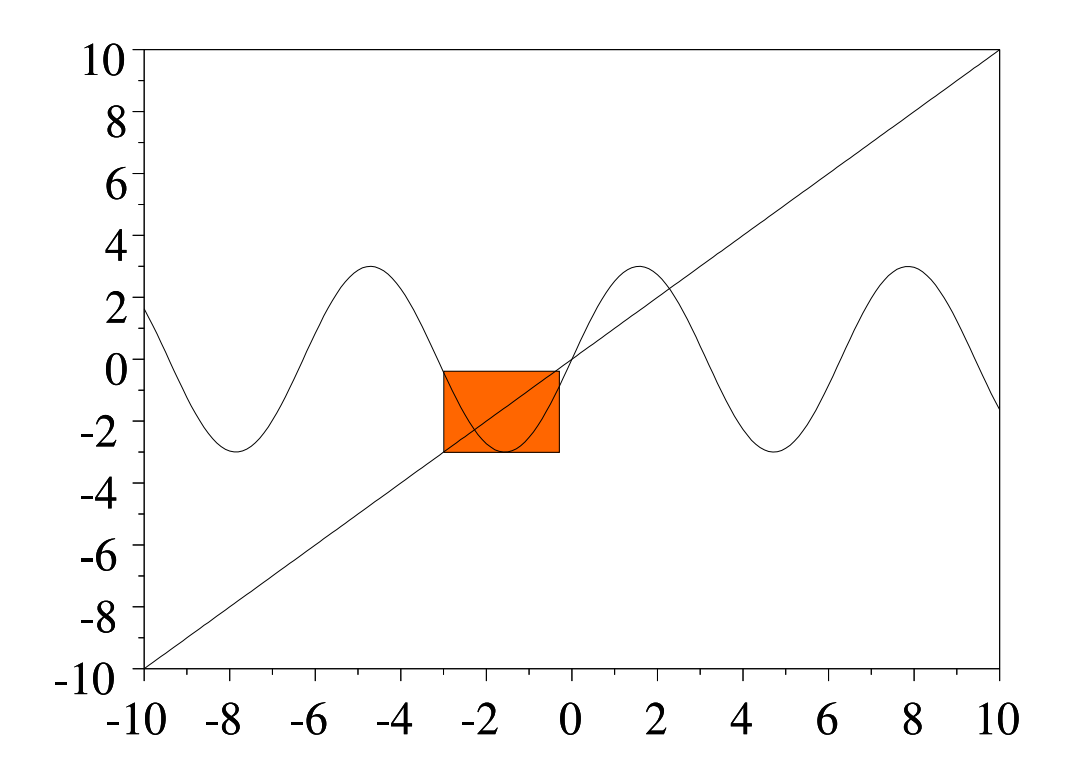
$$\begin{cases} y = 3\sin(x) \\ y = x \end{cases} \quad x \in \mathbb{R}, y \in \mathbb{R}.$$

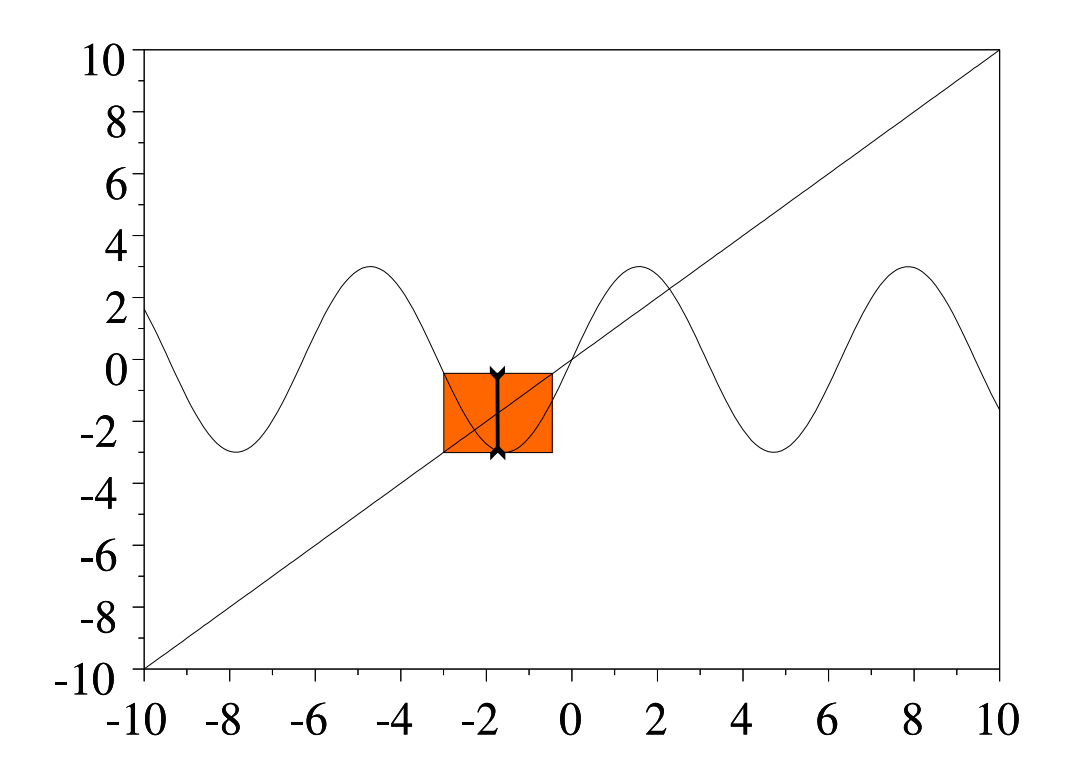


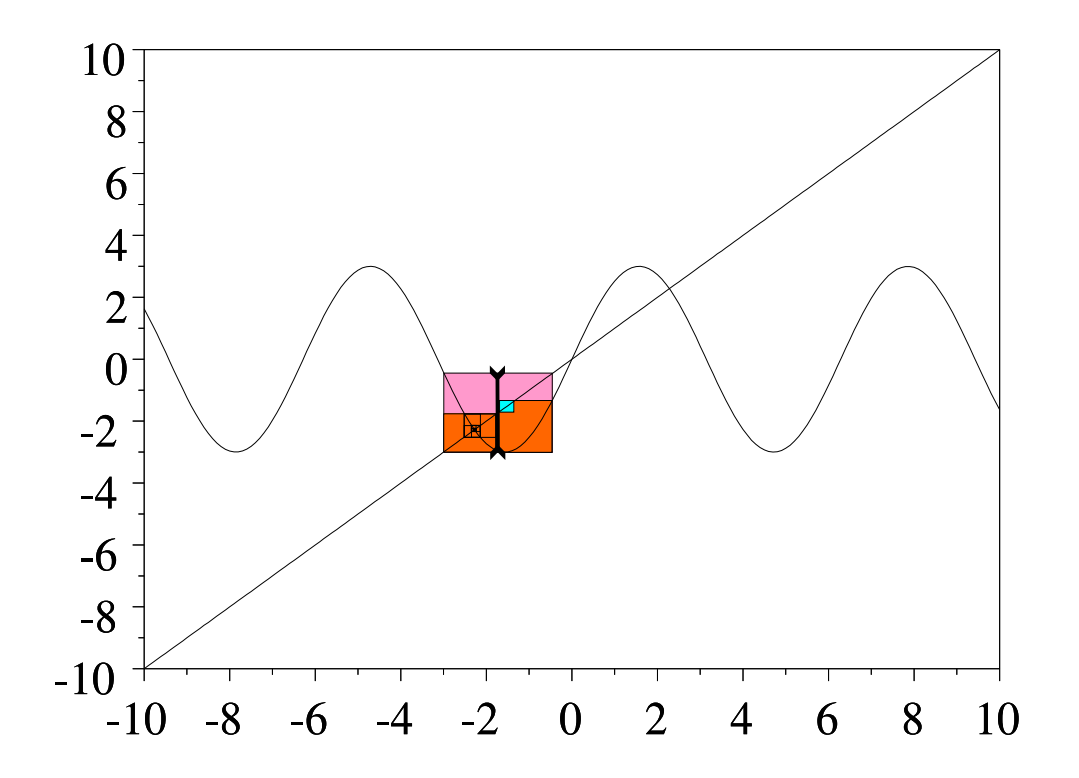












(Illustrer la résolution à l'aide du solveur Proj2D)

3.3 Prouver qu'un ensemble de contraintes est toujours satisfait

Idée : On complémente l'ensemble des contraintes.

Par exemple, montrer que

$$\forall x \in [x], \forall y \in [y], \ f(x,y) \leq 0 \ \text{et} \ g(x,y) \leq 0,$$
 revient à montrer que

$$\{(x,y)\in [x]\times [y]\mid f(x,y)>0 \text{ ou } g(x,y)>0\}=\emptyset$$
 c'est-à-dire que

$$\{(x,y) \in [x] \times [y] \mid \max(f(x,y),g(x,y)) > 0\} = \emptyset.$$

3.4 Stabilité robuste

(exemple tiré de Dorf et Bishop, Modern Control Systems, p. 313)

Moto roulant à une vitesse constante de 1m/s.

Entrée du système : angle θ du guidon.

Sortie est l'angle de roulis ϕ de la moto.

Fonction de transfert du système :

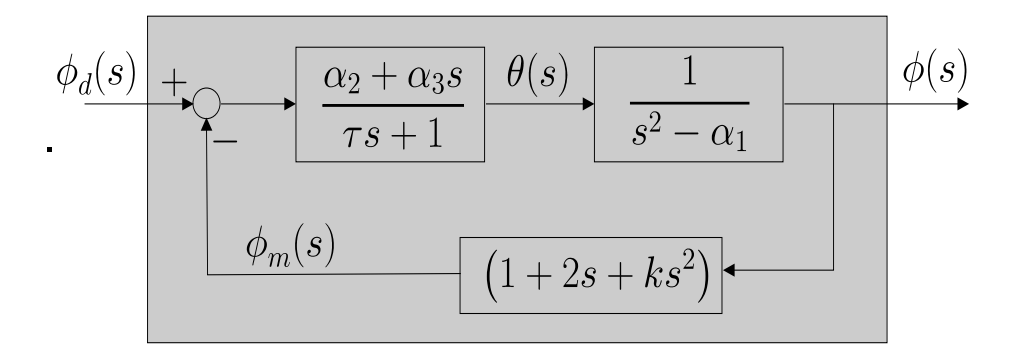
$$\phi(s) = \frac{1}{s^2 - \alpha_1} \theta(s).$$

Capteur:

$$\phi_m(s) = \left(1 + 2s + ks^2\right)\phi(s).$$

Régulateur :

$$\theta(s) = \frac{\alpha_2 + \alpha_3 s}{\tau s + 1} \left(\phi_d(s) - \phi_m(s) \right).$$



Domaines pour les paramètres

$$[\alpha_1] = [8.8; 9.2], \quad [\alpha_2] = [2.8; 3.2], \quad [\alpha_3] = [0.8; 1.2],$$
 $[\tau] = [1.8; 2.2], \quad [k] = [-3.2; -2.8].$

Polynôme caractéristique :

$$a_3s^3 + a_2s^2 + a_1s + a_0$$

avec

$$a_0 = -\alpha_1 + \alpha_2,$$

 $a_1 = \alpha_3 - \alpha_1 \tau + 2\alpha_2,$
 $a_2 = \alpha_2 k + 2\alpha_3 + 1,$
 $a_3 = \tau + \alpha_3 k.$

Table de Routh:

a_3	a_1
a_2	a_0
$\frac{a_{2}a_{1}-a_{3}a_{0}}{a_{2}}$	0
a_0	0

Stabilité si

$$sign(a_3) = sign(a_2) = sign(\frac{a_2a_1 - a_3a_0}{a_2}) = sign(a_0).$$

Stabilité robuste si

$$\forall \alpha_1 \in [\alpha_1], \forall \alpha_2 \in [\alpha_2], \forall \alpha_3 \in [\alpha_3], \forall \tau \in [\tau], \forall k \in [k], \\ \operatorname{sign}(a_3) = \operatorname{sign}(a_2) = \operatorname{sign}(\frac{a_2a_1 - a_3a_0}{a_2}) = \operatorname{sign}(a_0). \\ \operatorname{c'est-\grave{a}-dire}, \operatorname{si}$$

$$\begin{split} \mathbb{S} &= \{ \ (\alpha_1, \alpha_2, \alpha_3, \tau, k) \in [\alpha_1] \times [\alpha_2] \times [\alpha_3] \times [\tau] \times [k] \ | \\ a_0 &= -\alpha_1 + \alpha_2, a_1 = \alpha_3 - \alpha_1 \tau + 2\alpha_2 \\ a_2 &= \alpha_2 k + 2\alpha_3 + 1, a_3 = \tau + \alpha_3 k \\ b &= \frac{a_2 a_1 - a_3 a_0}{a_2} \\ \max \left(\min \left(a_3, a_2, b, a_0 \right), -\max \left(a_3, a_2, b, a_0 \right) \right) \leq 0 \} \end{split}$$

est vide. La preuve est obtenue en moins de 10^{-3} seconde sur un Pentium 3.

3.5 Localisation d'un satellite

$$\begin{cases} x_1(k+1) &= x_1(k) + 0.5 \ x_3(k) + w_1(k) \\ x_2(k+1) &= x_2(k) + 0.5 \ x_4(k) + w_2(k) \\ x_3(k+1) &= x_3(k) - 0.5 \ \frac{x_1(k)}{\sqrt{x_1^2(k) + x_2^2(k)}} + w_3(k) \\ x_4(k+1) &= x_4(k) - 0.5 \ \frac{x_2(k)}{\sqrt{x_1^2(k) + x_2^2(k)}} + w_4(k) \\ y_1(k) &= x_2(k)/x_1(k) \\ y_2(k) &= x_1(k)x_3(k) + x_2(k)x_4(k) \\ y_3(k) &= x_1^2(k) + x_2^2(k) \end{cases}$$

Fichier d'entrée du solveur Realpaver

```
x1_0 in [-oo,oo],

x2_0 in [-oo,oo],

x3_0 in [-oo,oo],

x4_0 in [-oo,oo],

w1_0 in [-0.01,0.01],

w2_0 in [-0.01,0.01],

w3_0 in [-0.01,0.01],

w4_0 in [-0.01,0.01],

y1_0 in [0.107,0.307],

y2_0 in [-0.710,-0.510],

y3_0 in [16.117,16.317],
```

Constraints

```
x1_1=x1_0+0.5*x3_0+ w1_0,

x2_1=x2_0+0.5*x4_0+ w2_0,

x3_1=x3_0-0.5*x1_0/

    (sqrt(x1_0^2+x2_0^2))^3+w3_0,
```

Fichier en sortie du solveur

```
x1_0 in [3.89 , 4.01]

x2_0 in [0.41 , 0.95]

x3_0 in [-0.41 , -0.14]

x4_0 in [0.20 , 0.93]

y1_0 in [0.10 , 0.25]

y2_0 in [-0.71 , -0.51]

y3_0 in [16.11 , 16.31]
```

. . .

x1_200 in [4.38, 4.88]

```
x2_200 in [-10.84 , -10.61]

x3_200 in [-0.14 , 0.54]

x4_200 in [-0.00 , 0.32]

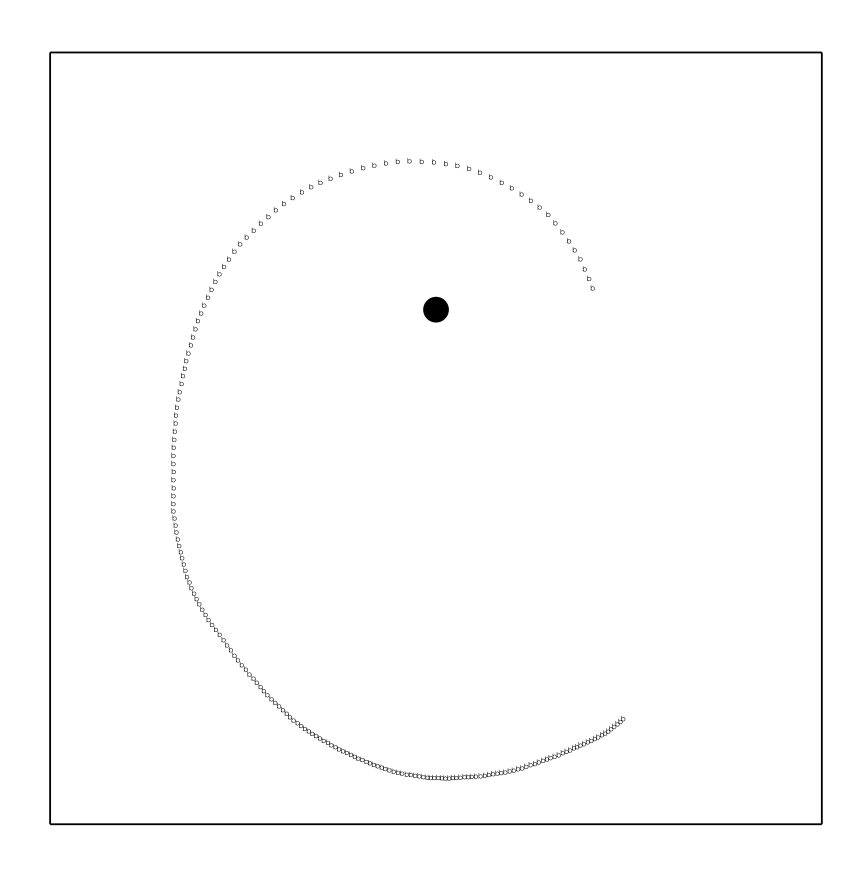
y1_200 in [-2.42 , -2.22]

y2_200 in [-0.92 , -0.72]

y3_200 in [136.61 , 136.81]
```

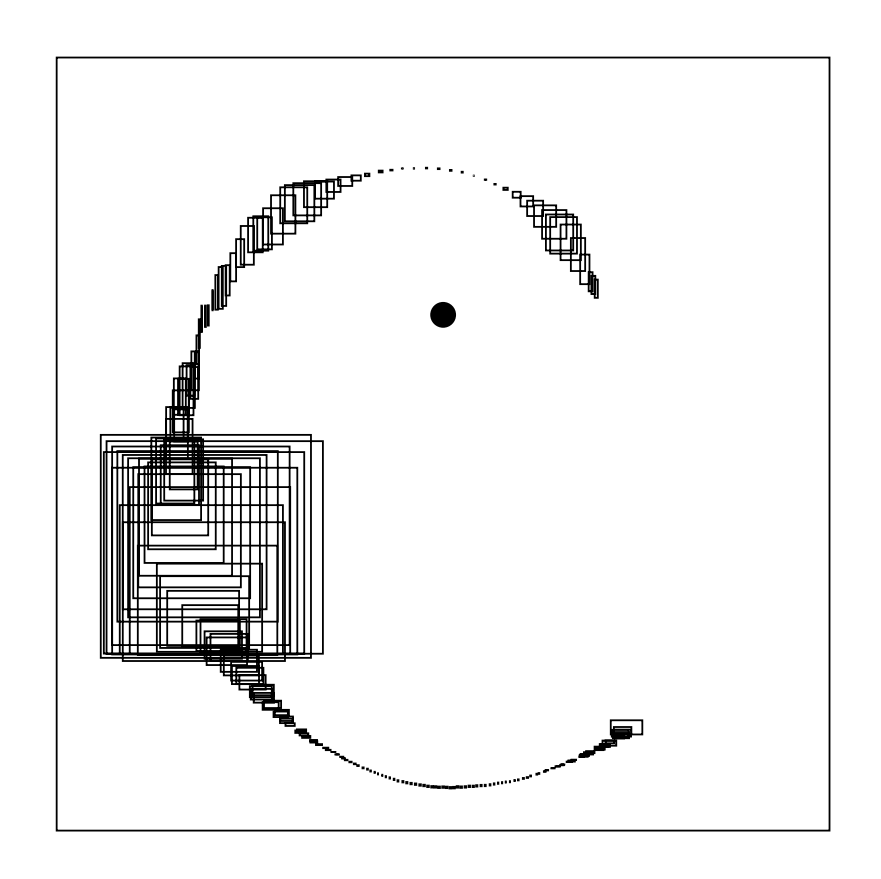
. . .

Elapsed time: 810 ms



Positions du satellite générées par simulation

pour k allant de 0 à 200



Pavés générés par Realpaver

Ce problème est un CSP (constraint satisfaction problem) contenant 8815 variables et 5607 contraintes.

4 Inversion ensembliste

4.1 Contracteurs

L'opérateur $\mathcal{C}_{\mathbb{X}}:\mathbb{IR}^n o \mathbb{IR}^n$ est un contracteur pour l'ensemble \mathbb{X} de \mathbb{R}^n si

$$\forall [\mathbf{x}] \in \mathbb{IR}^n, \left\{ \begin{array}{l} \mathcal{C}_{\mathbb{X}}([\mathbf{x}]) \subset [\mathbf{x}] & \text{(contractance),} \\ \mathcal{C}_{\mathbb{X}}([\mathbf{x}]) \cap \mathbb{X} = [\mathbf{x}] \cap \mathbb{X} & \text{(complétude).} \end{array} \right.$$

Le contracteur $\mathcal{C}_{\mathbb{X}}$ est

- *idempotent* si pour tout [x], $\mathcal{C}_{\mathbb{X}}([x]) = [x]$,
- convergent si pour presque tout x, et pour toute suite de pavés [x](k),

$$[\mathbf{x}](k) \to {\{\mathbf{x}\}} \Rightarrow \mathcal{C}_{\mathbb{X}}([\mathbf{x}](k)) \to {\{\mathbf{x}\}} \cap \mathbb{X},$$

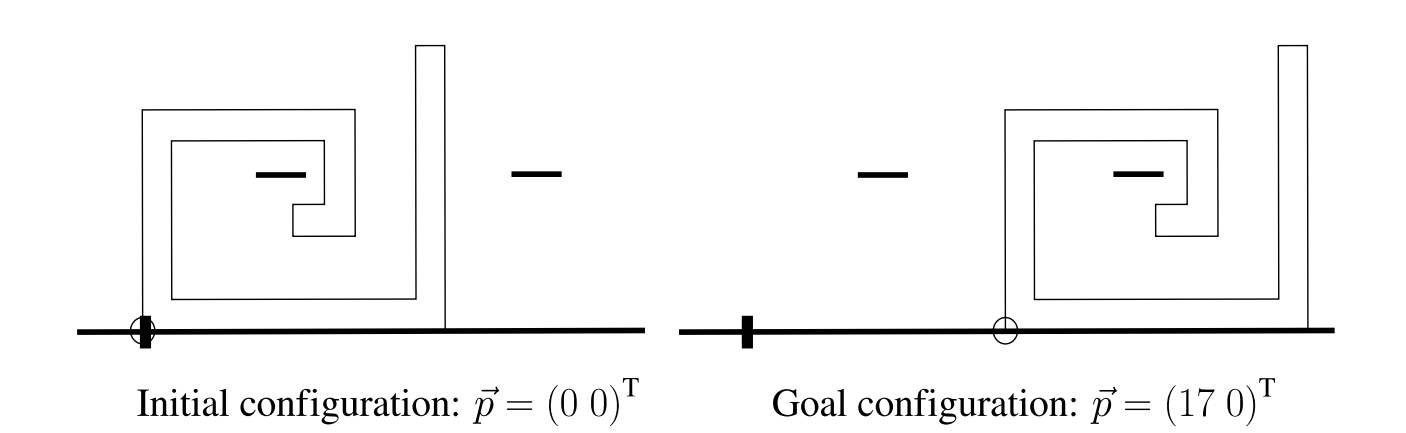
• minimal if

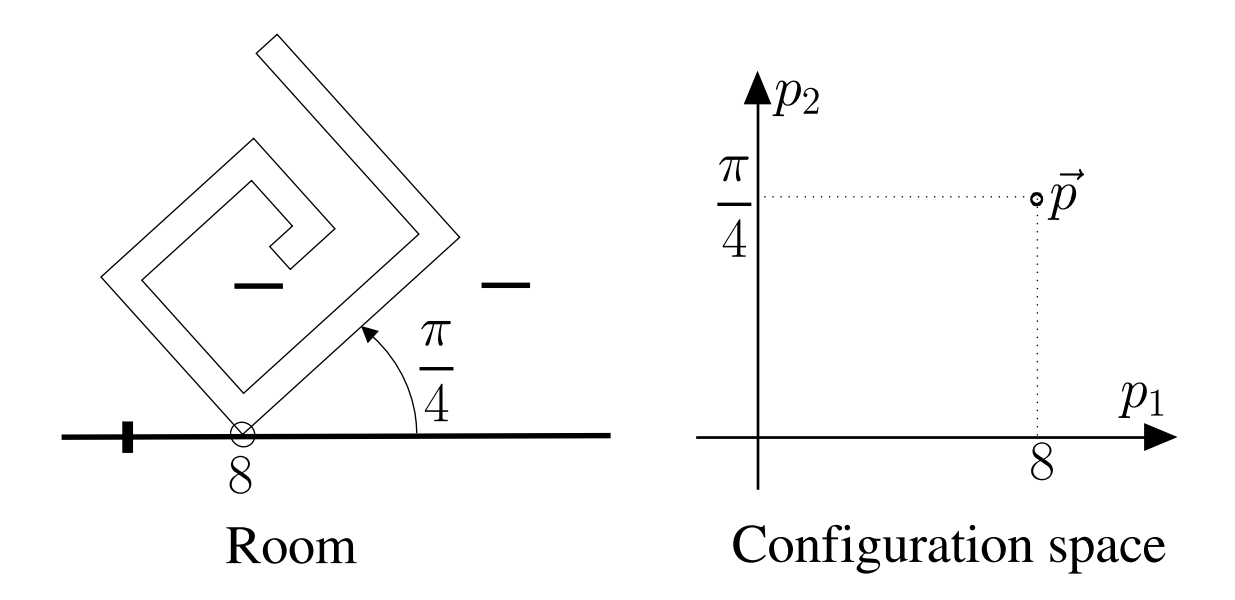
$$\forall [\mathbf{x}] \in \mathbb{IR}^n, \mathcal{C}_{\mathbb{X}}([\mathbf{x}]) = [[\mathbf{x}] \cap \mathbb{X}],$$

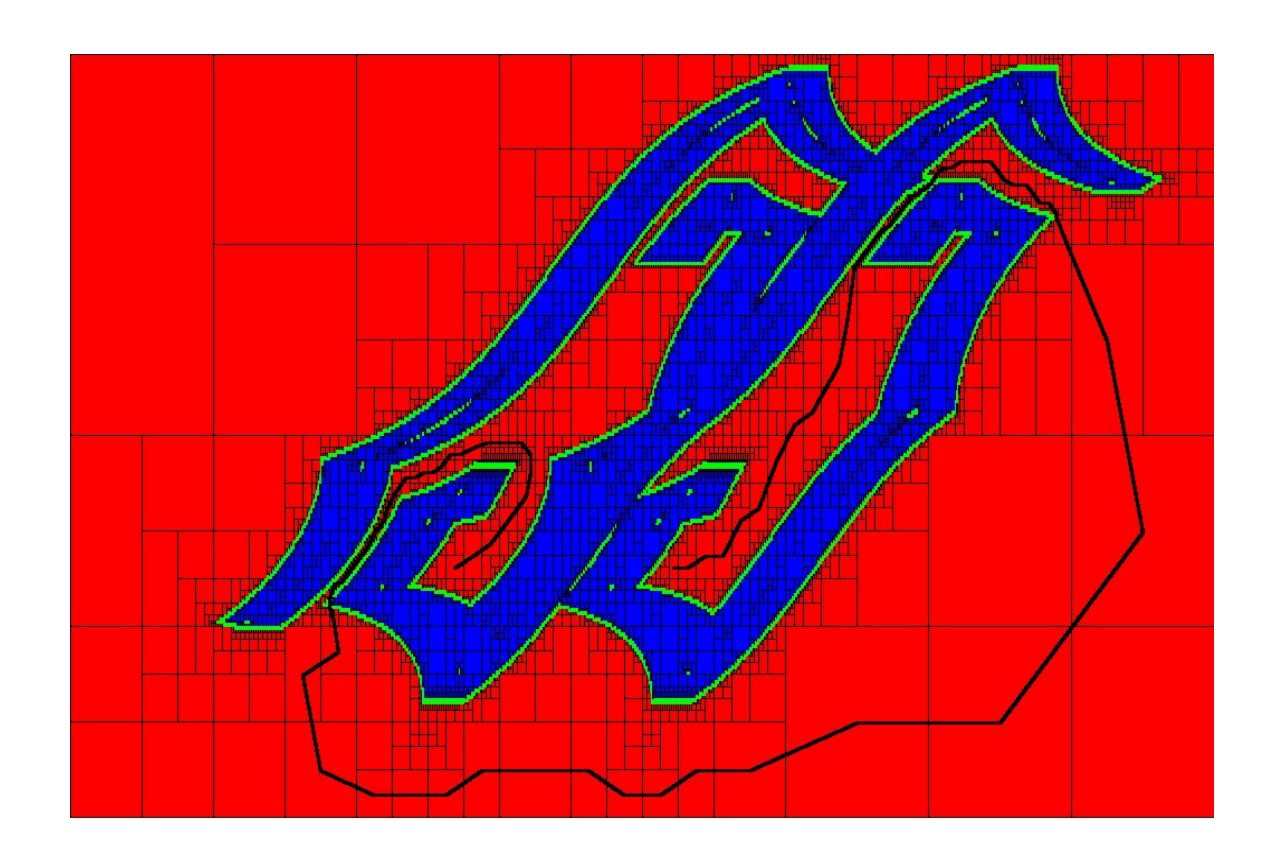
• *fin* si pour tout singleton $\{x\}$, $\mathcal{C}_{\mathbb{X}}(\{x\}) = \{x\} \cap \mathbb{X}$,

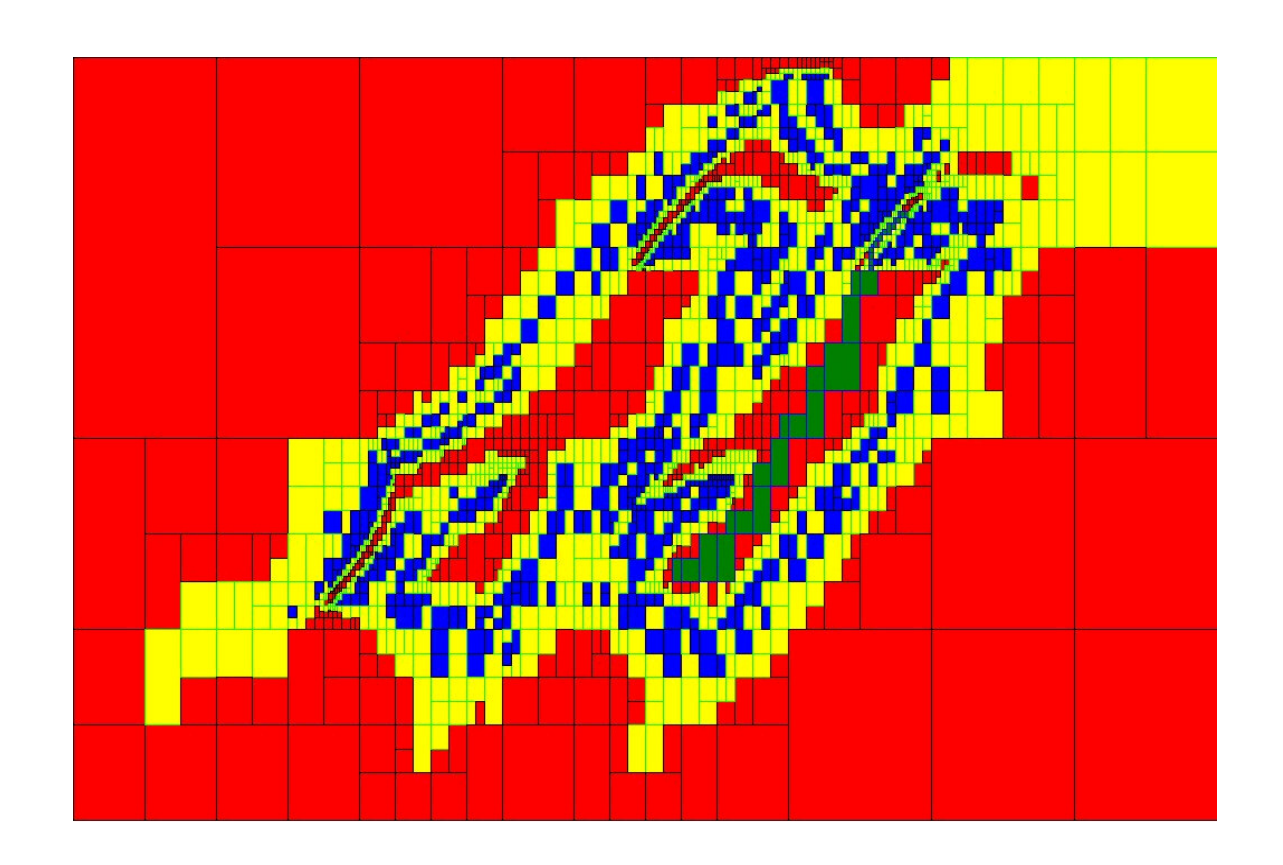
4.2 SIVIA

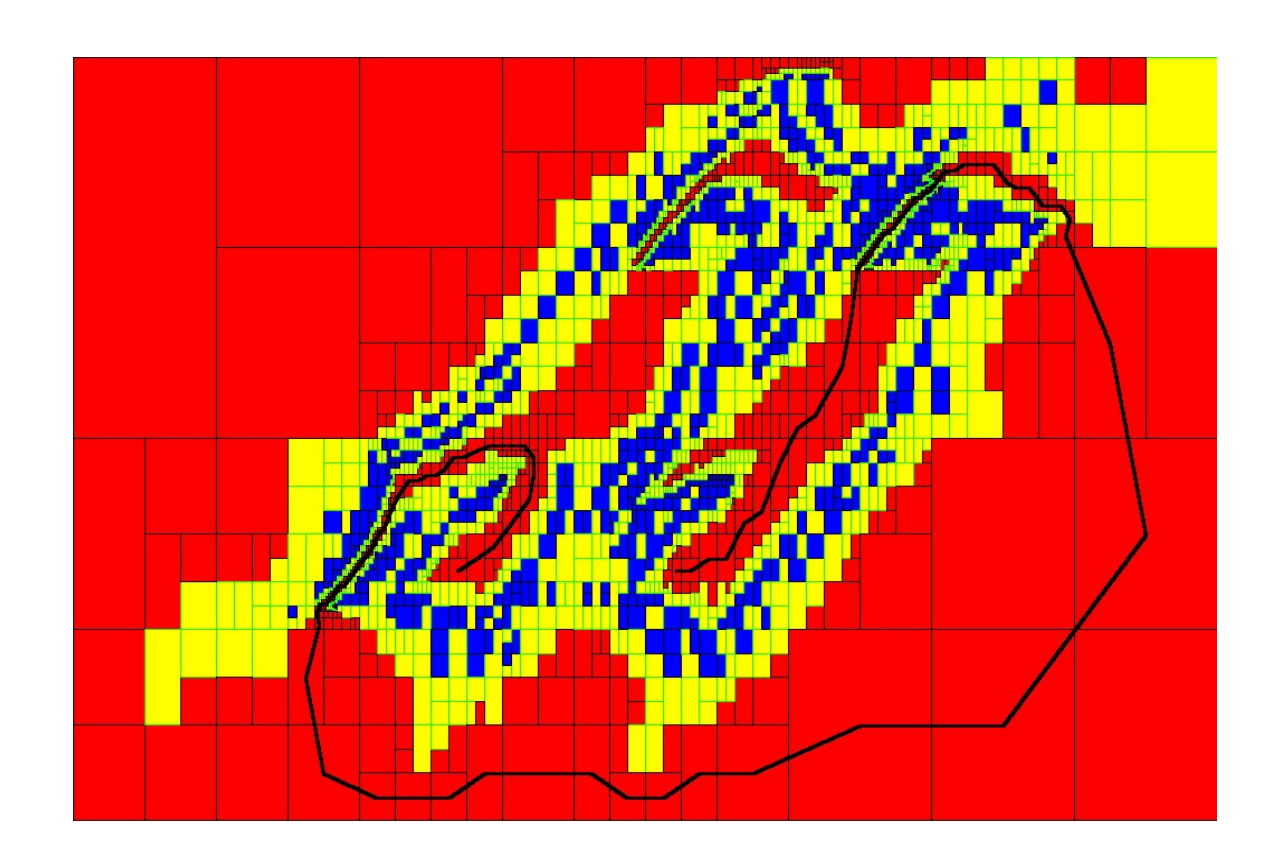
4.3 Planification de chemin











5 Objectifs

- 1) Développer des solveurs ensemblistes pour les automaticiens et les roboticiens,
- 2) Augmenter l'efficacité des solveurs en faisant collaborer les méthodes intervalles, ellipsoïdales, LMIs, . . .
- 3) Résoudre des problèmes reconnus comme difficiles.